

**ЖУРНАЛ
ВЫЧИСЛИТЕЛЬНОЙ МАТЕМАТИКИ И МАТЕМАТИЧЕСКОЙ ФИЗИКИ**

Том 35, 1995

№ 6, с. 850–866

УДК 519.852

© 1995 г. Ю.Г. ЕВТУШЕНКО, В.Г. ЖАДАН, А.П. ЧЕРЕНКОВ
**ПРИМЕНЕНИЕ МЕТОДА НЬЮТОНА К РЕШЕНИЮ ЗАДАЧ
ЛИНЕЙНОГО ПРОГРАММИРОВАНИЯ¹**

117967 Москва, ул. Вавилова, 40, ВЦ РАН

(Пересмотрена 30 апреля 2002 г.)

Рассматриваются непрерывные и дискретные варианты барьерно-ニュтоновского метода решения задач линейного программирования. Метод является прямо-двойственным, и в его основе лежит идея отыскания с помощью метода Ньютона тех точек в прямом и двойственном пространстве, которые удовлетворяют совместной системе условий оптимальности. Исследуются локальные и нелокальные свойства метода. Для дискретных вариантов метода предлагается использовать разные шаги в прямом и двойственном пространствах. Показано, что при специальных регулировках шагов метод сходится со сверхлинейной и квадратичной скоростью. Рассматривается вариант метода, в котором шаги выбираются из условия наискорейшего спуска, и выделена область начальных условий, при которых метод находит решение не более чем за две итерации.

Введение

Метод Ньютона является одним из наиболее эффективных способов решения систем нелинейных уравнений и задач оптимизации [1, 2, 3]. В последнее время появились многочисленные варианты метода, предназначенные для решения задач линейного программирования (ЛП) (см., например, [4, 5, 6]). Подробный обзор таких методов содержится в [7], причем особый интерес среди них представляют прямо-двойственные алгоритмы, в которых методом Ньютона решается параметризованная система уравнений, дающих в пределе условия оптимальности для прямой и двойственной задач [8]–[12]. Эти методы позволяют сочетать достаточно высокую локальную скорость сходимости с полиномиальностью алгоритмов. В настоящей работе также предлагается прямо-двойственный метод, основанный на решении системы уравнений, задающих условия оптимальности в задаче ЛП, а именно: условия дополняющей нежесткости и условия допустимости (см. [13]).

Если воспользоваться преобразованием пространств для освобождения от требования неотрицательности переменных [14, 15] и применить метод Ньютона для отыскания точек,

¹Работа выполнена при поддержке Российского фонда фундаментальных исследований (коды проектов 93-012-450, 94-01-01379).

удовлетворяющих условиям Куна–Таккера, то можно получить целое семейство различных методов. Такие методы для общей задачи нелинейного программирования рассматривались в [15, 16] и для задачи ЛП — в [17].

Данная статья посвящена исследованию специального класса методов, соответствующих таким покомпонентным преобразованиям пространств, которые приводят к умножению правых частей систем обыкновенных дифференциальных уравнений, описывающих метод, на диагональные матрицы, играющие роль барьеров и не позволяющие траекториям пересекать границы положительных ортантов как в исходном пространстве, так и в пространстве двойственных дополнительных переменных. В отличие от [17], здесь основное внимание уделяется выбору шагов в прямом и двойственном пространствах, которые, как и в [18], могут быть различными. Рассматриваются отдельно варианты метода с малыми шагами, а также с шагами, близкими к единице или выбираемыми из решения вспомогательных оптимизационных задач.

§ 1. Постановка задачи, основные идеи метода

Пусть $x = [x^1, \dots, x^n]$ и $u = [u^1, \dots, u^m]$ — векторы из евклидовых пространств \mathbb{R}^n и \mathbb{R}^m соответственно. Рассмотрим прямую и двойственную задачи ЛП, заданные в следующей форме:

$$\min_{x \in X} c^\top x, \quad X = \{x \in \mathbb{R}^n : b - Ax = 0_m, \quad x \geq 0_n\}, \quad (1.1)$$

$$\max_{u \in U} b^\top u, \quad U = \{u \in \mathbb{R}^m : v = c - A^\top u \geq 0_n\}. \quad (1.2)$$

Здесь и ниже A — матрица $m \times n$, в которой $m < n$, 0_i — нулевой i -мерный вектор, $b \in \mathbb{R}^m$, $c \in \mathbb{R}^n$. Символ 0_{ij} будет обозначать нулевую матрицу $i \times j$.

Введем в рассмотрение следующие множества:

$$\begin{aligned} \mathbb{R}_+^n &= \{x \in \mathbb{R}^n : x \geq 0_n\}, & \mathbb{R}_{++}^n &= \{x \in \mathbb{R}^n : x > 0_n\}, \\ \text{int } U &= \{u \in \mathbb{R}^m : v = c - A^\top u > 0_n\}, & \text{ri } X &= \{x \in \mathbb{R}_{++}^n : Ax = b\}. \end{aligned}$$

Всюду предполагаем, что ранг матрицы A равен m , множества $\text{int } U$ и $\text{ri } X$ непусты, задача (1.1) имеет единственное решение x_* , которое не вырождено. Тогда двойственная задача (1.2) также имеет единственное решение u_* и оно не вырождено, вектор x_* имеет m ненулевых компонент, вектор $v_* = c - A^\top u_*$ имеет m нулевых компонент. При этом выполняются условие дополняющей нежесткости $x_*^j v_*^j = 0$, $1 \leq j \leq n$, и условие строгой дополняющей нежесткости, т.е. из $x_*^j = 0$ следует, что $v_*^j > 0$.

Для решения задач линейного и нелинейного программирования в [16, 17] был использован метод Ньютона. В результате было получено целое семейство численных методов. Здесь ограничимся рассмотрением только одной численной схемы, в которой итерации строятся по формуле

$$W(x_k, u_k, \lambda_k) \begin{bmatrix} x_{k+1} - x_k \\ u_{k+1} - u_k \end{bmatrix} = - \begin{bmatrix} \alpha_k D(x_k) v_k \\ \tau_k (Ax_k - b) \end{bmatrix}. \quad (1.3)$$

Здесь нижний индекс k обозначает номер итерации, $D(z)$ — диагональную матрицу, у которой на главной диагонали находится вектор z , α_k , τ_k , λ_k — некоторые положительные коэффициенты, $\lambda_k = \alpha_k / \tau_k$, n -мерный вектор v имеет вид $v = v(u) = c - A^\top u$, W — квадратная матрица порядка $n + m$,

$$W(x, u, \lambda) = \begin{bmatrix} \lambda D(v) & -D(x)A^\top \\ A & 0_{mm} \end{bmatrix}.$$

В тех точках, где векторы x_k и v_k имеют все компоненты, не равные нулю, система (1.3) может быть записана в виде

$$x_{k+1} = D(x_k)[e_n + \tau_k(\eta_k - e_n)], \quad u_{k+1} = u_k + \alpha_k \mu_k, \quad (1.4)$$

где e_n есть n -мерный вектор, все компоненты которого равны единице, векторы $\eta \in \mathbb{R}^n$, $\mu \in \mathbb{R}^m$ определяются по формулам

$$\eta(x, u) = D^{-1}(v)A^\top \mu(x, u), \quad \mu(x, u) = M^{-1}(x, u)b. \quad (1.5)$$

Здесь $M(x, u) = AD(x)D^{-1}(v)A^\top M$ — матрица Грама.

Используя связь $v = c - A^\top u$ между векторами u и v , метод (1.4) можно переписать в переменных x, v :

$$x_{k+1} = D(x_k)[e_n + \tau_k(\eta_k - e_n)], \quad v_{k+1} = D(v_k)(e_n - \alpha_k \eta_k). \quad (1.6)$$

Введем матрицу $\Lambda \in \mathbb{R}^{d \times n}$, где $d = n - m$ — дефект матрицы A . Столбцы матрицы Λ^\top образуют базис нуль-пространства матрицы A , т.е. $A\Lambda^\top = 0_{md}$. Введем в рассмотрение множество $V = \{v \in \mathbb{R}^n : \Lambda(v - c) = 0_d\}$. Если $v \in V$, то вектор $v - c$ лежит в пространстве строк матрицы A и для вектора v существует такой m -мерный вектор u , что $v = c - A^\top u$. Из второго соотношения (1.6) следует $\Lambda(v_{k+1} - c) = \Lambda(v_k - c) - \alpha_k \Lambda A^\top \mu_k = \Lambda(v_k - c)$. Таким образом, если $v_0 \in V$, то $v_k \in V$ для всех k и соотношения (1.4) эквивалентны (1.6). Итерации можно проводить как в пространстве x, u , так и в пространстве x, v .

Лемма 1.1. *Пусть x_* и v_* — невырожденные решения задач (1.1) и (1.2), тогда матрица $W(x_*, u_*, \lambda)$ не вырождена,*

Доказательство. Не нарушая общности, считаем, что ненулевыми являются первые m компонент вектора x_* . Тогда векторы x_*, v_* и матрицы A и W можно представить в виде

$$x_* = \begin{bmatrix} x_*^B \\ x_*^N \end{bmatrix}, \quad v_* = \begin{bmatrix} v_*^B \\ v_*^N \end{bmatrix}, \quad x_*^B > 0_m, \quad x_*^N = 0_d, \quad v_*^B = 0_m, \quad v_*^N > 0_d, \quad (1.7)$$

$$A = [B|N], \quad W(x_*, u_*, \lambda) = \begin{bmatrix} 0_{mm} & 0_{md} & -D(x_*^B)B^\top \\ 0_{dm} & \lambda D(v_*^N) & 0_{dm} \\ B & N & 0_{mm} \end{bmatrix}. \quad (1.8)$$

Здесь $B \in \mathbb{R}^{m \times m}$, $N \in \mathbb{R}^{m \times d}$.

Для доказательства достаточно показать, что следующая система однородных алгебраических уравнений имеет только нулевое решение:

$$D(x_*^B)B^\top \bar{u} = 0_m, \quad \lambda D(v_*^N)\bar{x}^N = 0_d, \quad B\bar{x}^B + N\bar{x}^N = 0_m,$$

где $\bar{x}^B \in \mathbb{R}^m$, $\bar{x}^N \in \mathbb{R}^d$, $\bar{u} \in \mathbb{R}^m$. Но это очевидно, так как B — невырожденная матрица. \square

Лемма 1.2. *Для всяких $x \in \mathbb{R}_{++}^n$, $u \in \text{int } U$, $\lambda \in \mathbb{R}_{++}^1$ матрица $W(x, u, \lambda)$ не вырождена.*

Поскольку на рассматриваемых множествах матрица $M(x, u)$ не вырождена, то доказательство леммы 1.2 следует из формулы Фробениуса для обратной матрицы:

$$W^{-1} = \begin{bmatrix} \lambda^{-1}D^{-1}(v)[I_n - D(x)A^\top M^{-1}AD^{-1}(v)] & D^{-1}(v)D(x)A^\top M^{-1} \\ -M^{-1}AD^{-1}(v) & \lambda M^{-1} \end{bmatrix}.$$

Здесь и ниже I_s — единичная матрица $s \times s$.

Объединим векторы x и u одним символом, положив $z^\top = [x^\top, u^\top] \in \mathbb{R}^{n+m}$. Согласно лемме 1.2 правые части соотношений (1.6) однозначно определены, если все компоненты векторов x и $v(u)$ строго положительны. Векторы z , у которых $z \in \mathbb{R}_{++}^n$, $u \in \text{int } U$, назовем *внутренними*. Те варианты метода (1.3), в которых на всех итерациях вектор z остается внутренним, будем называть *методами внутренних точек*.

Введем в рассмотрение скаляр $\Phi_k = x_k^\top v_k$. Из (1.4), (1.6) следует, что

$$Ax_{k+1} - b = (1 - \tau_k)(Ax_k - b), \quad (1.9)$$

$$\Phi_{k+1} = (1 - \tau_k)\Phi_k + (\tau_k - \alpha_k)\mu_k^\top Ax_k + \alpha_k\tau_k\mu_k^\top(Ax_k - b). \quad (1.10)$$

Пусть $x_k > 0_n$, $v_k > 0_n$. Тогда для того чтобы гарантировать неотрицательность векторов x_{k+1} и v_{k+1} , шаги α_k , τ_k должны удовлетворять условиям $e_n \geq a_k\eta_k$, $e_n \geq \tau(e_n - \eta_k)$. Легко видеть, что эти условия имеют место, если

$$\alpha_k \leq \alpha_k^* = \frac{1}{[\eta_k^*]_+}, \quad 0 < \tau_k \leq \tau_k^* = \frac{1}{[1 - \eta_k^*]_+}, \quad (1.11)$$

где $[\alpha]_+ = \max[0, \alpha]$, η_k^* и η_k^k — соответственно максимальная и минимальная компоненты вектора η_k . Условимся считать, что $\alpha_k^* = +\infty$, если $\eta_k^* \leq 0$, и что $\tau_k^* = +\infty$, если $\eta_k^k \geq 1$.

Числа τ_k^* и α_k^* определяют максимально возможные шаги по прямым и двойственным переменным вдоль ньютоновского направления, сохраняющие неотрицательность всех компонент векторов x и v на k -й итерации.

Лемма 1.3. *Пусть $x_k > 0_n$, $v_k > 0_n$, $v_k \in V$ и $b \neq 0_m$, тогда $\eta_k^* > 0$. Если, кроме того, $x_k \in X$, множество X ограничено и вектор с не принадлежит пространству строк матрицы A , то $\eta_k^k < 1$.*

Доказательство. Предположим противное: пусть $\eta_k^* \leq 0$. Тогда из (1.5) следует $A^\top \mu_k \leq 0_n$ и согласно (1.4) – (1.6) выполняются неравенства

$$b^\top u_{k+1} - b^\top u_k = \alpha_k b^\top M^{-1}(x_k, u_k)b > 0, \quad v_{k+1} > 0_n.$$

Таким образом, двигаясь вдоль ньютонова направления, получаем при $\alpha_k \rightarrow \infty$, что вектор v_{k+1} имеет все неотрицательные компоненты и целевая функция двойственной задачи стремится к бесконечности. Это противоречит существованию ограниченного решения задачи (1.2). Поэтому $\eta_k^* > 0$ и, следовательно, максимальный шаг α_k^* ограничен.

Пусть $x_k \in X$. Тогда, согласно (1.9), точка $x_{k+1} \in X$. Если от противного предположить, что $\eta_k^k \geq 1$, то в случае, когда $\eta_k^* > 1$, должна существовать такая j -я компонента вектора η_k , что $\eta_k^j > 1$. Следовательно, в силу (1.4) $x_{k+1}^j \rightarrow \infty$ при $\tau_k \rightarrow \infty$. Но это невозможно из-за ограниченности X . Если $\eta_k^k = \eta_k^* = 1$, то $\alpha_k^* = 1$ и при $\alpha_k = 1$ из (1.6) следует, что $v_{k+1} = 0_n$, $c = A^\top u_k$, что противоречит условиям леммы. Поэтому $\eta_k^k < 1$. Лемма доказана. \square

Для полного описания численных методов (1.3) и (1.5) необходимо определить правила выбора шагов α_k и τ_k . Укажем три класса методов, которые порождаются разными способами регулировки шагов.

1. Шаги α , τ фиксированы и достаточно малы. В этом случае процесс (1.3) близок к непрерывному варианту метода, который будет рассмотрен в следующем параграфе.
2. Шаги α и τ близки к единице. В этом случае метод близок к методу Ньютона.
3. На каждой итерации шаги α_k и τ_k выбираются из решения вспомогательных оптимизационных задач. Эти варианты, можно называть *наискорейшим спуском*.

Ниже остановимся на некоторых вариантах методов из этих классов.

§ 2. Первый класс методов

В работе [17] метод (1.3) был получен из непрерывного варианта, в котором решение задач (1.1) и (1.2) сводилось к отысканию предельных точек (при $t \rightarrow \infty$) решений следующей системы обыкновенных дифференциальных уравнений:

$$\lambda D(v) \frac{dx}{dt} - D(x) A^\top \frac{du}{dt} = -\alpha D(x)v, \quad (2.1)$$

$$A \frac{dx}{dt} = -\tau(Ax - b). \quad (2.2)$$

Здесь $x(t, z_0)$, $u(t, z_0)$ — решения задачи Коши (2.1), (2.2) с вектором начальных условий $z_0^\top = [x_0^\top, u_0^\top]$.

Пусть $\alpha > 0$, $\tau > 0$ и $\lambda = 1$, тогда метод (2.1), (2.2) обладает свойством локальной сходимости. В [17] доказана

Теорема 2.1. *Пусть x_* и u_* — изолированные невырожденные решения задач (1.1) и (1.2). Тогда пара $[x_*, u_*]$ является асимптотически устойчивым положением равновесия для системы (2.1), (2.2). Дискретный вариант метода (1.3) локально сходится по крайней мере линейно при фиксированных параметрах λ_k , α_k и τ_k таких, что $\lambda_k = 1$, $0 < \alpha_k < 2$ и $0 < \tau_k < 2$.*

Система (2.1), (2.2) обладает $n + m$ первыми интегралами:

$$D^\lambda(x(t, z_0))v(t, z_0) = e^{-\alpha t} D^\lambda(x_0)v_0, \quad (2.3)$$

$$Ax(t, z_0) - b = e^{-\tau t}(Ax_0 - b). \quad (2.4)$$

Отсюда следует, что на траекториях системы (2.1), (2.2) компоненты векторов x и v не меняют знак. Поэтому если $x_0 > 0_n$, $v_0 > 0_n$ и траектории (2.1), (2.2) ограничены и продолжимы при $t \rightarrow \infty$, то в предельных точках x_* , v_* будут выполнены условия оптимальности Куна–Таккера для задачи (1.1):

$$Ax_* = b, \quad x_* \geq 0_n, \quad v_* \geq 0_n, \quad D(x_*)v_* = 0_n.$$

Таким образом, для решения задач (1.1) и (1.2) можно либо отыскивать предельные точки решения задачи Коши для системы (2.1), (2.2) либо находить пределы решения нелинейной системы (2.3), (2.4) при $t \rightarrow \infty$. Ниже будем ориентироваться на первый подход. Если все компоненты векторов x и v ненулевые, то систему (2.1), (2.2) можно разрешить относительно производных, и мы получим эквивалентную систему

$$\frac{dx}{dt} = \tau D(x)[\eta(x, u) - e_n], \quad \frac{du}{dt} = \alpha \mu(x, u). \quad (2.5)$$

Правые части системы (2.5) определены во всех тех точках, где вектор $z^\top(t, z_0) = [x^\top(t, z_0), u^\top(t, z_0)]$ внутренний. Вместе с тем правые части не определены в точке $z_*^\top = [x_*^\top, u_*^\top]$. Покажем, что если $z(t, z_0)$ приближается к z_* , оставаясь внутренним, то вектор-функции $\mu(x(t, z_0), u(t, z_0))$ и $\eta(x(t, z_0), u(t, z_0))$ имеют конечные пределы. Аналогично (1.7), (1.8) вектор η представим в виде $\eta^\top = [(\eta^B)^\top, (\eta^N)^\top]$, $\eta^B \in \mathbb{R}^m$, $\eta^N \in \mathbb{R}^d$.

Лемма 2.1. *Пусть точки x_* и u_* являются невырожденными решениями соответствующих задач (1.1) и (1.2), причем точка x_* представима в виде (1.7), (1.8). Тогда для*

произвольных $x > 0$ и $u \in \text{int } U$ имеют место представления

$$\eta^B = e_m - D^{-1}(x_*^B)\delta x^B + s_1(\delta z), \quad (2.6)$$

$$\eta^N = D^{-1}(v_*^N)\delta v^N + s_2(\delta z), \quad (2.7)$$

$$\mu = -\delta u + s_3(\delta z), \quad (2.8)$$

где $\delta x = x - x_*$, $\delta u = u - u_*$, $\delta z^\top = [\delta x^\top, \delta u^\top]$, $\delta v = -A^\top \delta u$; $\|s_i(\delta z)\| = O(\|\delta z\|)$, $i = 1, 2, 3$; разбиение векторов δx и δv на компоненты δx^B , δx^N и δv^B , δv^N соответственно осуществляется аналогично (1.7), (1.8).

Доказательство. В соответствии с разбиением вектора x_* матрицу $M(x, u)$ можно представить в виде

$$M(x, u) = M^B(x, u) + M^N(x, u). \quad (2.9)$$

Здесь

$$M^B(x, u) = BD(x^B)D^{-1}(v^B(u))B^\top, \quad M^N(x, u) = ND(x^N)D^{-1}(v^N(u))N^\top. \quad (2.10)$$

Если $M^B(x, u)$ — невырожденная матрица, то наряду с (2.9) справедливо равенство

$$M(x, u) = M^B(x, u)\{I_m + [M^B(x, u)]^{-1}M^N(x, u)\}.$$

Поэтому

$$M^{-1} = [I_m + (M^B)^{-1}M^N]^{-1}(M^B)^{-1} = [M^B(x, u)]^{-1} + S(x, u), \quad (2.11)$$

где $S = -(M^B)^{-1}M^N[I_m - (M^B)^{-1}M^N + \dots](M^B)^{-1}$.

На основании (2.10) имеем

$$[M^B(x, u)]^{-1} = (B^\top)^{-1}D(v^B(u))D^{-1}(x^B)B^{-1}. \quad (2.12)$$

Поскольку в силу невырожденности решений прямой и двойственной задач $x_*^N = 0_n$, $v_*^B = 0_m$, $v_*^N > 0_d$, то из (2.11) и (2.12) следует

$$[M(x_*, u_*)]^{-1} = [M^B(x_*, u_*)]^{-1} = 0_{mm}.$$

Имеют место очевидные представления

$$b = Bx_*^B = Bx^B - B\delta x^B \quad (2.13)$$

$$\delta v^N = -N^\top \delta u = N^\top(B^\top)^{-1}\delta v^B, \quad \|S(x, u)\| = O(\|\delta z\|). \quad (2.14)$$

Подставляя (2.11) и (2.13) в выражения (1.5), получаем

$$\eta(x, u) = D^{-1}(v(u))A^\top M^{-1}(x, u)b = \eta_1(x, u) + s(\delta z). \quad (2.15)$$

Здесь $\eta_1(x, u) = D^{-1}(v(u))A^\top(M^B)^{-1}B(x^B - \delta x^B)$, $\|s(\delta z)\| = O(\|\delta z\|)$.

Если воспользоваться соотношением (2.12) и первым равенством (2.14), то приходим к (2.8) и к следующим формулам:

$$\begin{aligned} \eta_1^B &= D^{-1}(v^B)B^\top(B^\top)^{-1}D(v^B)D^{-1}(x^B)B^{-1}B(x^B - \delta x^B) = \\ &= D^{-1}(x^B)(x^B - \delta x^B) = e_m - D^{-1}(x_*^B)\delta x_*^B + \theta^B(\delta z), \\ \eta_1^N &= D^{-1}(v^N)N^\top(B^\top)^{-1}D(v^B)D^{-1}(x^B)B^{-1}B(x^B - \delta x^B) = \\ &= D^{-1}(x^N)N^\top(B^\top)^{-1}v^B + \theta^N(\delta z) = D^{-1}(v^N)N^\top(B^\top)\delta v^B + \theta^N(\delta z) = \\ &= D^{-1}(v_*^N)\delta v^N + \theta_1^N(\delta z), \end{aligned}$$

где $\|\theta^B(\delta z)\| = o(\|\delta z\|)$, $\|\theta_1^N(\delta z)\| = o(\|\delta z\|)$. Так как $v_*^B = 0$, то отсюда и из (2.15) заключаем, что справедливы равенства (2.6), (2.7). Лемма доказана. \square

Утверждение леммы объясняет, почему вектор $\eta(x, u)$ часто называют индикаторным (см., например, [19]). Все компоненты вектора $\eta(x_*, u_*)$ состоят из нулей и единиц, причем базисным компонентам вектора x_* соответствуют единичные компоненты вектора $\eta(x_*, u_*)$. Нулевым компонентам вектора x_* соответствуют нулевые компоненты $\eta(x_*, u_*)$.

Введем в рассмотрение функцию Ляпунова $F(x, u)$ и лебегово множество Ω_0 по формулам

$$F(x, u) = \|D^\lambda(x)(c - A^\top u)\| + \|Ax - b\|,$$

$$\Omega_0 = \{[x, u] : F(x, u) \leq F(x_0, u_0), \quad x \geq 0_n, \quad v \geq 0_n, \quad b^\top u_0 \leq b^\top u\}.$$

Теорема 2.2. Пусть $[x_*, u_*]$ — пара невырожденных решений задач (1.1) и (1.2). Пусть, кроме того, лебегово множество Ω_0 ограничено. Тогда для любого внутреннего вектора начальных условий z_0 имеют место следующие свойства:

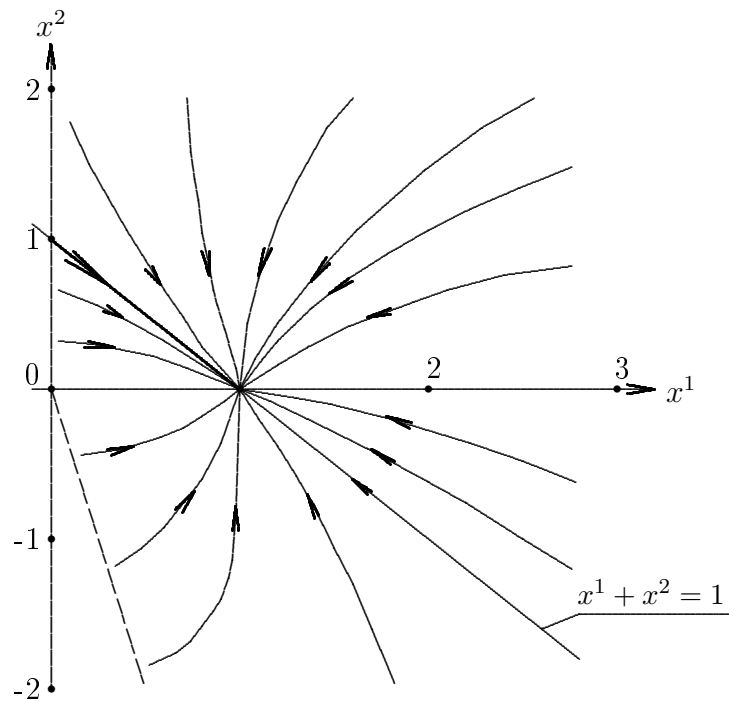
- 1) матрица $M(x(t, z_0), u(t, z_0))$ не вырождена при любых $t \geq 0$,
- 2) $z(t, z_0) \in \Omega_0$ и $v(t, z_0) \in V$ при всех $t \geq 0$,
- 3) целевая функция двойственной задачи $b^\top u$ монотонно возрастает на траекториях системы (2.5),
- 4) пара решений $[x(t, z_0), u(t, z_0)]$ системы (2.5) ограничена, продолжима и сходится к паре $[x_*, u_*]$ при $t \rightarrow \infty$.

Для иллюстрации свойств метода рассмотрим простейший пример, в котором $n = 2$, $m = 1$, $A = [1, 1]$, $b = 1$, $c^\top = [-2, 1]$. Очевидно, что $x_*^\top = [1, 0]$, $u_* = -2$, $v_*^\top = [0, 3]$, $f_* = c^\top x_* = -2$.

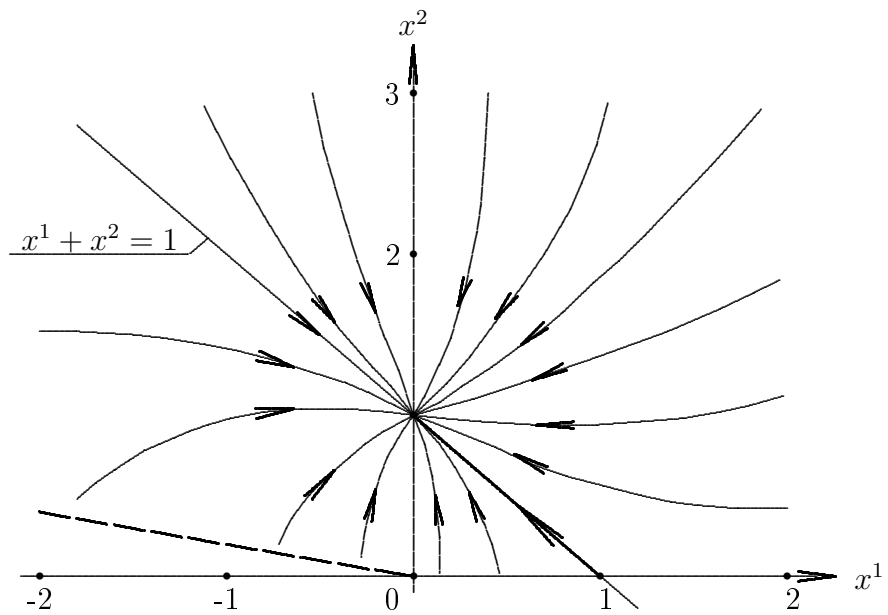
На фиг. 1 показаны фазовые траектории системы (2.1), (2.2) в плоскости x^1 , x^2 . В качестве начального вектора двойственных переменных взят $u_0 = -3$. При этом $v_0 = [1, 4]$. Все траектории, начинающиеся из точек, имеющих строго положительные компоненты, сходятся к точке x_* . Штриховой линией обозначен луч $x^1 v_0^1 + x^2 v_0^2 = 0$, $x^1 \geq 0$, $x^2 \leq 0$, соответствующий множеству точек, где матрица $M(x, u_0)$ вырождена. В процессе итераций x и v изменяются и этот луч вращается, приближаясь к вертикальной оси при $t \rightarrow \infty$. Из рисунка видно, что сходимость к x_* имеет место при любых x_0 , лежащих выше этого луча.

На фиг. 2 показан фазовый портрет в случае, когда $u_0 = 2$ и $v_0 = [-4, -1]$. Все траектории, начинающиеся из \mathbb{R}_{++}^2 , сходятся к точке $x^* = [0, 1]$, являющейся решением задачи поиска максимума функции $c^\top x$ на X . Точка x_* в этом случае неустойчива, а точка x^* является аттрактором.

Интегрируя систему (2.1), (2.2) по схеме Эйлера, приходим к методу (1.4). Итеративный процесс (1.4) будет близок к процессу, описываемому системой дифференциальных уравнений (2.1), (2.2), если шаги α_k , τ_k достаточно малы. Свойства этого варианта методов были исследованы Г.В. Смирновым; в частности, он показал полиномиальность дискретного варианта метода при малых α_k и τ_k . Вместе с тем очевидно, что метод (1.4) более эффективен, если шаги α_k и τ_k берутся достаточно большими. Анализ этих вариантов метода проведен ниже.



Фиг. 1



Фиг. 2

§ 3. Локальные свойства метода

Из формул (1.5) следует, что вектор $D(x)\eta$ является одним из решений системы линейных алгебраических уравнений $AD(x)\eta = b$. Если $x = x_*$, то у вектора η компоненты, соответствующие базисным компонентам вектора x_* , будут равны единице, а компоненты, соответствующие небазисным компонентам, будут равны нулю. Поэтому $\eta_* = 0$, $\eta^* = 1$

$\alpha^* = \tau^* = 1$. Таким образом, в окрестности решения максимально допустимые шаги, гарантирующие неотрицательность x и v , близки к единице. Рассмотрим простейший вариант выбора α_k, τ_k . Будем считать, что

$$\alpha_k = (1 - \varrho_k)\alpha_k^*, \quad \tau_k = (1 - \varrho_k)\tau_k^*, \quad (3.1)$$

где $0 < \varrho_k < 1$. Укажем три правила выбора ϱ_k :

$$0 < \varrho_k < 1, \quad \lim_{k \rightarrow \infty} \varrho_k = 0, \quad (3.2)$$

$$\varrho_k = \max [\varkappa\Phi_k, 1 - \delta], \quad 0 < \varkappa, \quad 0 < \delta < 1, \quad (3.3)$$

$$\varrho + k = \frac{\varkappa\Phi_k}{1 + \varkappa\Phi_k}, \quad \varkappa > 0. \quad (3.4)$$

При всех этих способах гарантируется, что $0 < 1 - \varrho_k < 1$. Поэтому если $x_k > 0_n$, $v_k > 0_n$, то на следующей итерации эти векторы также строго положительны.

Теорема 3.1. Пусть выполнены предположения леммы 2.1 и на каждой итерации шаги α_k и τ_k выбираются согласно (3.1) – (3.4). Тогда метод (1.4) локально по меньшей мере сверхлинейно сходится к $[x_*, u_*]$, т.е.

$$\overline{\lim}_{k \rightarrow \infty} \frac{|x_{k+1} - x_*|}{|x_k - x_*|} = 0, \quad \overline{\lim}_{k \rightarrow \infty} \frac{|u_{k+1}^j - u_*^j|}{|u_k^j - u_*^j|} = 0, \quad 1 \leq i \leq n, \quad 1 \leq j \leq m. \quad (3.5)$$

$$\lim_{k \rightarrow \infty} \alpha_k^* = \lim_{k \rightarrow \infty} \tau_k^* = 1, \quad \lim_{k \rightarrow \infty} \mu_k = 0_m, \quad \lim_{k \rightarrow \infty} \eta_k^* = 1, \quad \lim_{k \rightarrow \infty} \eta_*^k = 0. \quad (3.6)$$

При использовании регулировок (3.3) или (3.4) имеет место квадратичная скорость сходимости.

Доказательство. Обозначим $\Delta x_k = x_k - x_*$, $\Delta v_k = v_k - v_*$, $\Delta u_k = u_k - u_*$, $\Delta z_k = [\Delta x_k, \Delta u_k]$. Тогда метод (1.4) можно записать в виде

$$\Delta x_{k+1} = [I_n - \tau_k D(e_n - \eta_k)]\Delta x_k - \tau_k D(x_*)(e_n - \eta_k), \quad (3.7)$$

$$\Delta v_{k+1} = [I_n - \alpha_k D(\eta_k)]\Delta v_k - \alpha D(v_*)\eta_k, \quad (3.8)$$

$$\Delta u_{k+1} = \Delta u_k + \alpha_k \mu_k. \quad (3.9)$$

Предположим, что пара векторов $[x_k, u_k]$ близка к $[x_*, u_*]$ и норма вектора Δz_k является малой величиной порядка ε . Предположим также для определенности, что базис в точке x_* образуют первые m столбцов матрицы A , т.е. имеет место представление (1.7), (1.8). Из (2.6) и (2.7) тогда следует, что

$$\eta_k^B = e_m - D^{-1}(x_*^B)\Delta x_k^B + s_1(\Delta z_k), \quad (3.10)$$

$$\eta_k^N = D^{-1}(v_*^N)\Delta v_k^N + s_2(\Delta z_k), \quad (3.11)$$

$$\mu_k = -\Delta u_k + s_3(\Delta z_k), \quad (3.12)$$

где $\|s_i(\Delta z_k)\| = O(\varepsilon^2)$, $i = 1, 2, 3$.

Подставляя эти соотношения в правые части (3.7) – (3.9), получаем

$$\Delta x_{k+1} = (1 - \tau_k)\Delta x_k + \theta_1(\Delta z_k), \quad (3.13)$$

$$\Delta v_{k+1} = (1 - \alpha_k)\Delta v_k + \theta_2(\Delta z_k), \quad (3.14)$$

$$\Delta u_{k+1} = (1 - \alpha_k)\Delta u_k + \theta_3(\Delta z_k). \quad (3.15)$$

Здесь $\|\theta_i(\Delta z_k)\| = O(\varepsilon^2)$, $i = 1, 2, 3$; α_k и τ_k определяются из условий (3.1). Имеем при сделанных предположениях

$$\begin{aligned}\frac{1}{\alpha_k^*} &= \eta_k^* = 2 - \min_{1 \leq i \leq m} \left[\frac{x_k^i}{x_*^i} \right] + O(\varepsilon)^2, \\ \frac{1}{\tau_k^*} &= \eta_*^k = 2 - \min_{1 \leq i \leq n} \left[\frac{v_k^i}{v_*^i} \right] + O(\varepsilon)^2.\end{aligned}$$

Отсюда следует, что

$$\alpha_k^* = 1 + O(\varepsilon), \quad \tau_k^* = 1 + O(\varepsilon). \quad (3.16)$$

Эти формулы и (3.1) подставим в правую часть (3.13) – (3.15), после ряда преобразований получим

$$\Delta x_{k+1} = \varrho_k \Delta x_k + \tilde{\theta}_1(\Delta z_k), \quad \Delta u_{k+1} = \varrho_k \Delta u_k + \tilde{\theta}_2(\Delta z_k),$$

где $\|\tilde{\theta}_i(\Delta z_k)\| = O(\varepsilon^2)$, $i = 1, 2$. С учетом (3.2) приходим к (3.5). Равенства (3.6) следуют из (3.10) – (3.12) и (3.16).

Если имеет место регулировка (3.3) или (3.4), то вблизи решения

$$\varrho_k = \gamma \left(\sum_{i=1}^m x_*^i \Delta v_k^i + \sum_{i=m+1}^n v_*^i \Delta x_k^i \right) + O(\varepsilon^2).$$

Отсюда и из (3.13) – (3.15) заключаем, что $\|\Delta z_{k+1}\| = O(\varepsilon^2)$, т.е. имеет место квадратичная скорость сходимости. Теорема доказана. \square

Важным свойством метода (1.4), является возможность в некоторых случаях решать задачи (1.1) и (1.2) за конечное число шагов. Рассмотрим это свойство. Введем индексные множества, зависящие от векторов x и v :

$$\sigma(x) = \{1 \leq i \leq n : x^i = 0\}, \quad \sigma(v) = \{1 \leq i \leq n : v^i = 0\}.$$

Если все компоненты векторов x и v не равны нулю, то $\sigma(x) = \emptyset$, $\sigma(v) = \emptyset$.

Обозначим через T_k множество начальных пар $[x_0, u_0]$ таких, что алгоритм (1.3) при $\tau_k = \alpha_k = 1$ дает решение обеих задач (1.1) и (1.2) за k итераций. Определим множества

$$\begin{aligned}\Omega_1 &= \{[x, u] : x = x_*, \sigma(x) \cap \sigma(v) = \emptyset\}, \\ \Omega_2 &= \{[x, u] : u = u_*, \sigma(x) \cap \sigma(v) = \emptyset\}, \\ \Omega_3 &= \{[x, u] : \sigma(x) = \sigma(x_*), \sigma(x) \cap \sigma(v) = \emptyset\}.\end{aligned}$$

Теорема 3.2. Предположим, что задачи (1.1) и (1.2) имеют невырожденные решения x_* и u_* . Предположим также, что в методе (1.3) параметры выбираются следующим образом: $\lambda_k = \tau_k = \alpha_k = 1$; тогда $\Omega_1 \subseteq T_1$, $\Omega_2 \subseteq T_1$, $\Omega_3 \subseteq T_2$.

Доказательство. Метод (1.3) при $\lambda_k = \tau_k = \alpha_k = 1$ упрощается и имеет вид

$$D(v_k)x_{k+1} - D(x_k)A^\top u_{k+1} = -D(x_k)A^\top u_k, \quad Ax_{k+1} = b.$$

Поэтому если пара $[x_0, u_0] \in T_1$, то должно выполняться равенство

$$D(v_0)x_* = D(x_0)A^\top(u_* - u_0). \quad (3.17)$$

Легко показать, что любая пара начальных условий $[x_0, u_0]$ из Ω_1 или Ω_2 удовлетворяет (3.17).

Докажем последнее утверждение — о том, что $\Omega_3 \subseteq T_2$. Пусть для точки x_0 имеет место представление, аналогичное (1.7), (1.8), т.е. $x_0^B \neq 0_m$, $x_0^N = 0_d$, тогда

$$D(v_0^B)x_1^B - D(x_0^B)B^\top u_1 = -D(x_0^B)B^\top u_0, \quad D(v_0^N)x_1^N = 0_d, \quad Bx_1^B + Nx_1^N = b.$$

Все компоненты вектора v_0^B не равны нулю, поэтому

$$x_1^N = 0_d, \quad x_1^B = B^{-1}b = x_*^B, \quad u_1 = u_0 + (B^\top)^{-1}D^{-1}(x_0^B)D(v_0^B)x_*^B.$$

Таким образом, за один шаг получаем точный вектор $x = x_*$.

Полагая $k = 1$, находим

$$D(v_1^B)x_2^B - D(x_1^B)B^\top u_2 = -D(x_1^B)B^\top u_1, \quad D(v_1^N)x_2^N = 0_d, \quad Bx_2^B + Nx_2^N = b.$$

Решение этой системы очевидно:

$$\begin{aligned} x_2^B &= x_*^B, \quad x_2^N = 0_d, \quad u_2 = (B^\top)^{-1}c^B, \quad v_2^B = 0_m, \\ v_2^N &= c^N - N^\top(B^\top)^{-1}c^B = v_*^N > 0_d, \end{aligned}$$

следовательно, найдено точное решение обеих задач. Теорема доказана. \square

Полученный результат имеет глобальный характер. Если, например, $[x_0, u_0] \in \Omega_2$, то вектор x_0 может иметь даже отрицательные компоненты.

§ 4. Метод внутренней точки с наискорейшим спуском

Правила регулирования шагов α_k и τ_k во внутренней точке $z_k^\top = [x_k^\top, v_k^\top]$ будем определять из решения вспомогательных задач. Чтобы точка z_{k+1}^\top была внутренней, потребуем выполнения условий

$$0 \leq \alpha_k \leq \omega\alpha_k^* = \bar{\alpha}_k, \quad 0 \leq \tau_k \leq \omega\tau_k^* = \bar{\tau}_k, \quad (4.1)$$

где $0 < \omega < 1$. Для простоты предположим, что α_k^* и τ_k^* конечны. Из (4.1) и (1.11) следует неравенство

$$\frac{1}{\bar{\alpha}_k} + \frac{1}{\bar{\tau}_k} \geq \frac{1}{\omega}. \quad (4.2)$$

Шаги α_k и τ_k при условии (4.1) целесообразно выбирать так, чтобы по возможности минимизировать величину Φ_{k+1} и норму невязки $\|Ax_{k+1} - b\|$, определяемые по формулам (1.10), (1.9). Опуская для упрощения записи индекс k и вводя обозначения $L = \mu^\top Ax$, $M = \mu^\top b$, $N = \|Ax - b\|$, приходим к двум критериям:

$$\varphi(\alpha, \tau) = \Phi - L\alpha + (L - \Phi)\tau + (L - M)\alpha\tau, \quad \varphi_2(\tau) = N|1 - \tau|.$$

Объединим оба критерия в один, используя их линейную свертку. Получим вспомогательную задачу: найти

$$\varphi^0(\bar{\alpha}, \bar{\tau}) = \min_{0 \leq \alpha \leq \bar{\alpha}, 0 \leq \tau \leq \bar{\tau}} \varphi(\alpha, \tau), \quad (4.3)$$

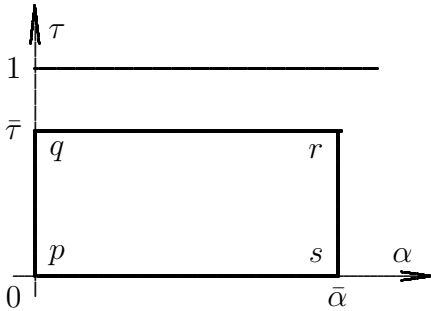
$$\varphi(\alpha, \tau) = \varphi_1(\alpha, \tau) + \varphi_2(\tau). \quad (4.4)$$

Решение задачи (4.3) обозначим α^0, τ^0 . Считаем, что $b \neq 0_m$, поэтому $M > 0$. Кроме того, будем принимать во внимание, что на рассматриваемом множестве $\varphi_1(\alpha, \tau) > 0$.

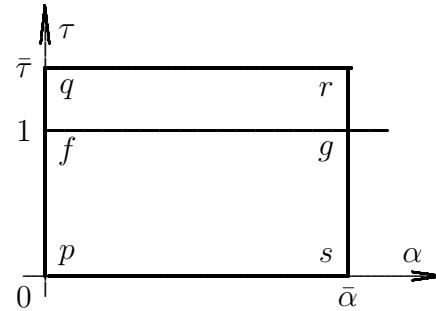
В общем случае функция $\varphi(\alpha, \tau)$ кусочно-билинейна. Поэтому среди экстремальных точек хотя бы одна будет вершиной одного из прямоугольников, являющихся областями ее билинейности.

В случае $\bar{\tau} < 1$ функция $\varphi(\alpha, \tau)$ билинейна и выражается формулой

$$\varphi(\alpha, \tau) = \Phi + N - L\alpha + (L - \Phi - N)\tau + (L - M)\alpha\tau, \quad (4.5)$$



Фиг. 3



Фиг. 4

областью ее определения является прямоугольник $pqrs$ (фиг. 3). Запишем значения $\varphi(\alpha, \tau)$ в его вершинах:

$$\varphi_p = \Phi + N, \quad \varphi_q = (\Phi + N)(1 - \bar{\tau}) + L\bar{\tau}, \quad (4.6)$$

$$\varphi_r = (\Phi + N)(1 - \bar{\tau}) + L(\bar{\tau} - \bar{\alpha}) + (L - M)\bar{\alpha}\bar{\tau}, \quad \varphi_s = \Phi + N - L\bar{\alpha}. \quad (4.7)$$

В точке p не может достигаться $\min \varphi$, так как при $L > 0$ верно $\varphi_s < \varphi_p$, а если $L \leq 0$, то $\varphi_q < \varphi_p$. Вид решения зависит от поведения функции φ на отрезках qr и rs . Учитывая, что

$$\frac{\partial \varphi(\alpha, \bar{\tau})}{\partial \alpha} = -L(1 - \bar{\tau}) - M\bar{\tau}, \quad \frac{\partial \varphi(\bar{\alpha}, \tau)}{\partial \tau} = -(\Phi + N + M\bar{\alpha}) + L(1 + \bar{\alpha}),$$

находим решение задачи. Оно отражено в табл. 1, значения $\varphi^0(\bar{\alpha}, \bar{\tau})$ определяются по формулам (4.6), (4.7).

Таблица 1

	$(\partial \varphi)/(\partial \alpha) _{\tau=\bar{\tau}} > 0$	$(\partial \varphi)/(\partial \alpha) _{\tau=\bar{\tau}} = 0$	$(\partial \varphi)/(\partial \alpha) _{\tau=\bar{\tau}} < 0$
$(\partial \varphi)/(\partial \tau) _{\alpha=\bar{\alpha}} < 0$	точка q	отрезок qr	точка r
$(\partial \varphi)/(\partial \tau) _{\alpha=\bar{\alpha}} = 0$ $(\partial \varphi)/(\partial \tau) _{\alpha=\bar{\alpha}} > 0$	$\left. \begin{array}{c} \\ \end{array} \right\}$	не реализуется	$\left. \begin{array}{c} \\ \end{array} \right\}$ отрезок rs точка s

В случае $\bar{\tau} \geq 1$ при $\tau \leq 1$ функция $\varphi(\alpha, \tau)$ имеет вид (4.5), а при $\tau \geq 1$

$$\varphi(\alpha, \tau) = \Phi - N - L\alpha + (L - \Phi + N)\tau + (L - M)\alpha\tau.$$

Функция $\varphi(\alpha, \tau)$ кусочно-билинейна. Подобластями билинейности являются прямоугольники $pfgs$ и $fqrqg$ (фиг. 4). Найдем значения $\varphi(\alpha, \tau)$ в их вершинах:

$$\varphi_p = \Phi + N, \quad \varphi_f = L, \quad \varphi_q = (\Phi - N)(1 - \bar{\tau}) + L\bar{\tau}, \quad (4.8)$$

$$\varphi_r = (\Phi - N + L\bar{\alpha})(\bar{\tau} - 1) + (L - M\bar{\alpha})\bar{\tau}, \quad \varphi_g = L - M\bar{\alpha}, \quad \varphi_s = \Phi + N - L\bar{\alpha}, \quad (4.9)$$

Вершина r не может быть точкой минимума $\varphi(\alpha, \tau)$, так как, ввиду $\varphi_1(\alpha, \tau) > 0$, должно быть $L > 0$ и поэтому $\varphi_s < \varphi_p$. Минимум $\varphi(\alpha, \tau)$ не может достигаться и в вершине f , так как $\varphi_g < \varphi_f$. Анализируя поведение $\varphi(\alpha, \tau)$ на сторонах qr и rs , используя соотношения

$$\begin{aligned} \left(\frac{\partial \varphi}{\partial \alpha} \right)_{\tau=\bar{\tau}} &= L(\bar{\tau} - 1) - M\bar{\tau}, \\ \left(\frac{\partial \varphi}{\partial \tau} \right)_{\substack{\alpha=\bar{\alpha} \\ \tau>1}} &= L(1 + \bar{\alpha}) + N - (\Phi + M\bar{\alpha}) \geq \left(\frac{\partial \varphi}{\partial \tau} \right)_{\substack{\alpha=\bar{\alpha} \\ \tau<1}} = \\ &= L(1 + \bar{\alpha}) - (\Phi + N + M\bar{\alpha}), \end{aligned}$$

получаем возможные варианты решения задачи. Они отражены в табл. 2, значения $\varphi^0(\bar{\alpha}, \bar{\tau})$ находятся по формулам (4.8), (4.9).

Таблица 2

	$(\partial \varphi)/(\partial \alpha) _{\tau=\bar{\tau}} > 0$	$(\partial \varphi)/(\partial \alpha) _{\tau=\bar{\tau}} = 0$	$(\partial \varphi)/(\partial \alpha) _{\tau=\bar{\tau}} < 0$
$(\partial \varphi)/(\partial \tau) _{\alpha=\bar{\alpha}, \tau>1} < 0$ $\frac{\partial \varphi}{\partial \tau} \Big _{\substack{\alpha=\bar{\alpha} \\ \tau<1}} < 0 = \frac{\partial \varphi}{\partial \tau} \Big _{\substack{\alpha=\bar{\alpha} \\ \tau>1}}$	$\left. \begin{array}{c} \text{точка } q \\ \text{ломаная } qrg \end{array} \right\}$	$\left. \begin{array}{c} \text{отрезок } qr \\ \text{ломаная } qrg \end{array} \right\}$	$\left. \begin{array}{c} \text{точка } r \\ \text{отрезок } rg \end{array} \right.$
$\frac{\partial \varphi}{\partial \tau} \Big _{\substack{\alpha=\bar{\alpha} \\ \tau<1}} = 0 = \frac{\partial \varphi}{\partial \tau} \Big _{\substack{\alpha=\bar{\alpha} \\ \tau>1}}$	не реализуется	не реализуется	отрезок rs
$\frac{\partial \varphi}{\partial \tau} \Big _{\substack{\alpha=\bar{\alpha} \\ \tau<1}} < 0 < \frac{\partial \varphi}{\partial \tau} \Big _{\substack{\alpha=\bar{\alpha} \\ \tau>1}}$	$\arg \min \{\varphi_q, \varphi_g\}$	точка g	точка g
$\frac{\partial \varphi}{\partial \tau} \Big _{\substack{\alpha=\bar{\alpha} \\ \tau<1}} = 0 < \frac{\partial \varphi}{\partial \tau} \Big _{\substack{\alpha=\bar{\alpha} \\ \tau>1}}$	$\arg \min \{\varphi_q, \varphi_{sg}\}$	отрезок sg	отрезок sg
$0 < (\partial \varphi)/(\partial \tau) _{\alpha=\bar{\alpha}, \tau<1}$	$\arg \min \{\varphi_q, \varphi_s\}$	точка s	точка s

Таким образом, если следовать полученным оптимальным стратегиям выбора шагов α_k и τ_k , то в любом случае шаг α_k можно принять равным 0 либо $\bar{\alpha}$. Шаг τ_k в случае $\bar{\tau} \geq 1$, помимо крайних значений 0 и $\bar{\tau}$, может также принимать промежуточное значение 1. Метод внутренней точки (1.4) с шагами α_k и τ_k , выбираемыми из решения вспомогательной задачи (4.4), назовем *методом наискорейшего спуска*.

Оценим величину $\varphi^0(\bar{\alpha}, \bar{\tau})$ в предположении, что

$$\|\eta_k\|_\infty = \max_{1 \leq i \leq n} |\eta_k^i| \leq C.$$

В этом случае согласно (1.11) и (4.1) имеем

$$\bar{\alpha} \geq \frac{\omega}{C}, \quad \bar{\tau} \geq \frac{\omega}{1+C}. \quad (4.10)$$

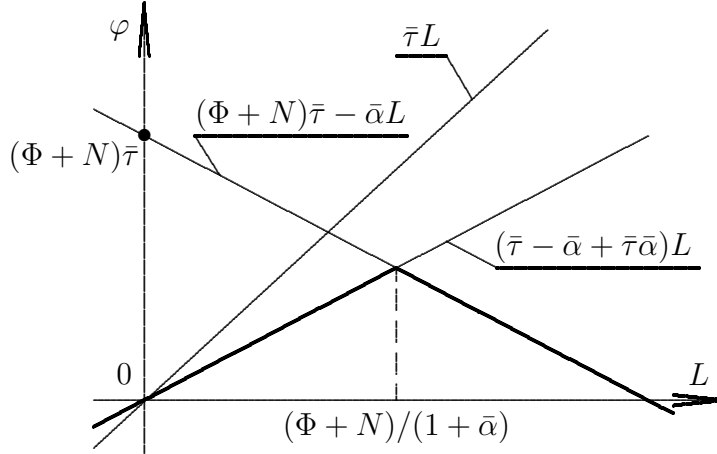
Найдем

$$\psi^* = \sup_{\bar{\alpha} \geq \omega/C, \bar{\tau} \geq \omega/(1+C)} \varphi^0(\bar{\alpha}, \bar{\tau}).$$

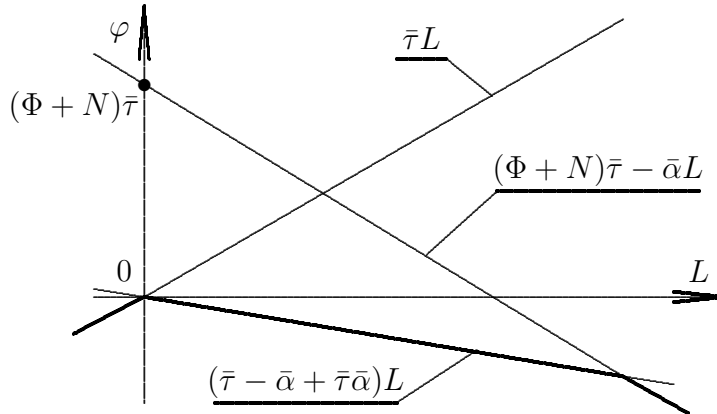
Воспользуемся тем, что $\varphi^0(\bar{\alpha}, \bar{\tau})$ не должно превышать значение $\varphi(\alpha, \tau)$ в любой из допустимых точек $[\alpha, \tau]$.

Для случая $\bar{\tau} \geq 1$ в качестве таких точек возьмем s и f :

$$\varphi^0(\bar{\alpha}, \bar{\tau}) \leq \min\{\varphi_s, \varphi_f\} \leq \max_L \min\{L, \Phi + N - \bar{\alpha}L\} = \frac{\Phi + N}{1 + \bar{\alpha}}. \quad (4.11)$$



Фиг. 5



Фиг. 6

Для случая $\bar{\tau} < 1$ обратимся к точкам q, r, s . Так как $M > 0$, то $\varphi_r < (\Phi + N)(1 - \bar{\tau}) + (\bar{\tau} - \bar{\alpha} + \bar{\alpha}\bar{\tau})L$. Поэтому

$$\begin{aligned} \varphi^0(\bar{\alpha}, \bar{\tau}) &\leq \min\{(\Phi + N)(1 - \bar{\tau}) + L\bar{\tau}, (\Phi + N)(1 - \bar{\tau}) + (\bar{\tau} - \bar{\alpha} + \bar{\alpha}\bar{\tau})L, \Phi + N - \bar{\alpha}L\} \quad (4.12) \\ &\leq (\Phi + N)(1 - \bar{\tau}) + \max_L \min\{\bar{\tau}L, (\bar{\tau} - \bar{\alpha} + \bar{\alpha}\bar{\tau})L, (\Phi + N)\bar{\tau} - \bar{\alpha}L\}. \end{aligned}$$

Из $\bar{\tau} \leq 1$ вытекает, что $\bar{\tau} - \bar{\alpha} + \bar{\alpha}\bar{\tau} \leq \bar{\tau}$. Таким образом, если $\bar{\tau} - \bar{\alpha} + \bar{\alpha}\bar{\tau} \geq 0$, то максимум по L находится из условия $(\bar{\tau} - \bar{\alpha} + \bar{\alpha}\bar{\tau})L = (\Phi + N)\bar{\tau} - \bar{\alpha}L$ и достигается в точке $L = (\Phi +$

$+N)/(1+\bar{\alpha})$, как показано на фиг. 5. Подставляя данное значение L в правую часть (4.12), приходим к выводу, что оценка (4.11) сохраняется и при этом предположении. Случаю $\bar{\tau} - \bar{\alpha} + \bar{\alpha}\bar{\tau} < 0$ соответствует ситуация, изображенная на фиг. 6. Максимум определяется из условия $\bar{\tau}L = (\bar{\tau} - \bar{\alpha} + \bar{\alpha}\bar{\tau})L$ и достигается в нуле. Вместо (4.11) выполняется

$$\varphi^0(\bar{\alpha}, \bar{\tau}) \leq (\Phi + N)(1 - \bar{\tau}). \quad (4.13)$$

Из (4.1), (4.11) и (4.13) следует, что

$$\varphi^* \leq \nu(\Phi + N), \quad \nu = \max \left\{ \max_{\bar{\alpha} \geq \omega/C} \frac{1}{1 + \bar{\alpha}}, \max_{\bar{\tau} \geq \omega/(1+C)} (1 - \bar{\tau}) \right\} = 1 - \frac{\omega}{1 + C}. \quad (4.14)$$

Полученная оценка недостижима и неулучшаема. Недостижимость ($\varphi^0(\bar{\alpha}, \bar{\tau}) < \varphi^*$) вытекает из предыдущих рассуждений, а неулучшаемость видна из следующего примера: полагая $\Phi = N = 1$, $L = 0$, $M \rightarrow 0$, $\omega = 0.8$, $C = 0.6$, $\alpha^* = 1.875$, $\tau^* = 0.625$ и убеждаясь, что выполнены условия (4.2), (4.10), $\bar{\tau} < 1$, что оптимальна точка r , с помощью (4.6), (4.7) и (4.14) находим $\varphi^0 = 1 - 3M/4$, $\nu(\Phi + N) = 1$, т.е. $\lim_{M \rightarrow 0} = \nu(\Phi + N)$.

На основании (4.14), используя определение φ^* , получаем

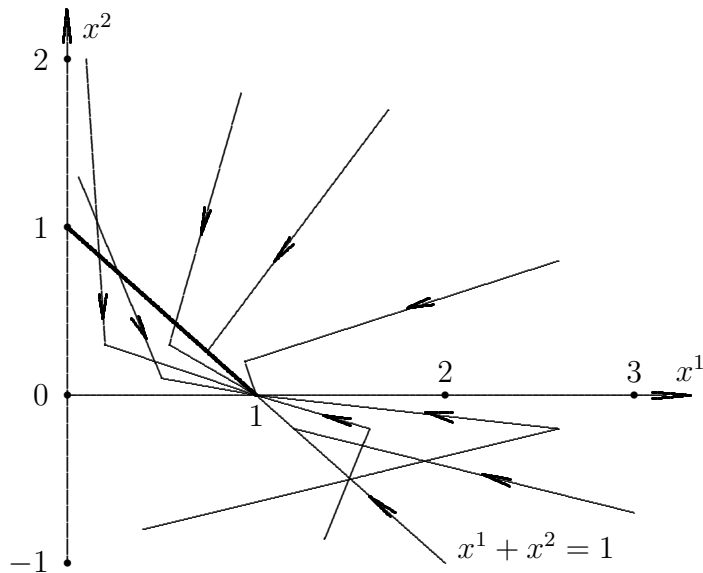
$$\Phi_{k+1} + \|Ax_{k+1} - b\| \leq \nu(\Phi_k + \|Ax_k - b\|).$$

Это неравенство позволяет оценить число шагов, достаточных для попадания точки $[x_k, u_k]$ в некоторую окрестность решения задач (1.1) и (1.2).

Теорема 4.1. Пусть $z_0 = [x_0, u_0]$ — внутренняя точка, и пусть последовательности $\{x_k\}$ и $\{u_k\}$, порожденные методом наискорейшего спуска, таковы, что $\|\eta_k\|_\infty \leq C$ для всех k . Тогда для произвольного $\varepsilon > 0$ функция $\Phi(x, u) = v^\top(u)x + \|Ax - b\|$ становится меньше ε не более чем за

$$K = \left\lceil \frac{1+C}{\omega} \ln \frac{\Phi(x_0, u_0)}{\varepsilon} \right\rceil$$

итераций, где $\lceil a \rceil$ — наименьшее целое, приближающее число a сверху.



Фиг. 7

На фиг. 7 показано решение примера из § 2 методом наискорейшего спуска. Параметр ω полагался равным 0.9. Отметим, что при приближении ω к единице количество итераций, необходимых для решения задачи с заданной точностью, уменьшалось, доходя для некоторых начальных точек до двух.

ЦИТИРОВАННАЯ ЛИТЕРАТУРА

1. *Ортега Д., Рейнболдт В.* Итерационные методы решения нелинейных уравнений со многими неизвестными. М.: Мир, 1975.
2. *Васильев Ф.П.* Численные методы решения экстремальных задач. М.: Наука, 1980.
3. *Евтушенко Ю.Г.* Методы решения экстремальных задач и их применение в системах оптимизации. М.: Наука, 1982.
4. *Iri M., Imai H.* A multiplicative barrier function method for linear programming // Algorithmica, 1986, № 1, pp. 455–482.
5. *De Ghellink G., Vial J.-P.* A polynomial Newton method for linear programming // Algorithmica, 1986, № 1, pp. 425–453.
6. *Renegar J.* A polynomial-time algorithm, based on Newton's method for linear programming // Math. Program., 1988, v. 40, № 1, pp. 55–94.
7. *Gonzaga C.C.* Path-following methods for linear programming // SIAM Rev., 1992, v. 34, № 2, pp. 167–224.
8. *Kojima M., Mizuno S., Yoshise A.* A primal-dual interior point method for linear programming // Progress Math. Program. Interior Point and Relative Methods / Ed. N. Megiddo. Berlin: Springer-Verlag, 1989. Ch.2.
9. *Monteiro R.C., Adler I.* Interior path-following primal-dual algorithm, part I: Linear programming // Math. Program., 1989, v. 44, pp. 43–66.
10. *McShane K., Monma C., Shanno D.* An implementation of a primal-dual interior point method for linear programming // ORSA J. Comput., 1989, № 1, pp. 70–83.
11. *Ye Y., Tapia R., Zhang Y.* A superlinear convergent $O(\sqrt{n}L)$ -iteration algorithm for linear programming: Techn. Rept. TR91-22, 1991, Rice Univ., Houston, Texas.
12. *Jansen B., Roos C., Terlaky T., Vial J.-Ph.* Primal-dual target-following algorithms for linear programming. Techn. Rept. 93–107, Fac. Techn. Math. and Informatics, TU Delft, 1993.
13. *Еремин И.И., Астафьев Н.Н.* Введение в теорию линейного и выпуклого программирования. М.: Наука, 1976.
14. *Evtushenko Yu.G., Zhadan V.G.* The space transformation technique in mathematical programming // System Modelling and Optimizat., ed. P. Kall. Lect. Notes In Control and Information Sci. 180. Proc. 15th IFIP Conf. Springer-Verlag, 1991.
15. *Evtushenko Yu.G., Zhadan V.G.* Stable barrier-projection and barrier-newton methods in nonlinear programming // Optimizat. Meth. and Software, 1994, v. 3, pp. 237–256.

16. Евтушенко Ю.Г., Жадан В.Г. Барьерно-проективные и барьерно-ньютоновские численные методы оптимизации (случай нелинейного программирования) // Сообщ. по вычисл. матем., М.: ВЦ АН СССР, 1991.
17. Евтушенко Ю.Г., Жадан В.Г. Барьерно-проективные и барьерно-ньютоновские численные методы оптимизации (случай линейного программирования) // Сообщ. по вычисл. матем., М.: ВЦ РАН, 1991.
18. Ye Y. Line search in potential reduction algorithms for linear programming // Dept Management Sci. Iowa City, IA: Univ. Iowa, 1989.
19. El-Bakly A.S., Tapia R.A., Zhang Y. A study of indicators for identifying zero variables in interior-point methods: Techn. Rept. TR91-15, 1991. Rice Univ., Houston, Texas.